

©1995 г.

ДЕФЕКТООБРАЗОВАНИЕ В ПОВЕРХНОСТНОЙ ОБЛАСТИ КРЕМНИЯ ПРИ ЕГО ТЕРМИЧЕСКОМ ОКИСЛЕНИИ

В.П.Шаповалов, В.И.Грядун, А.Е.Королев

Запорожский государственный технический университет,
Запорожье, Украина

(Получена 11 июля 1994 г. Принята к печати 16 декабря 1994 г.)

Построена модель возникновения механических напряжений в системе Si-SiO₂ при высокотемпературном окислении кремния, в которой учитывается скорость окисления и текучесть диоксида кремния при заданной температуре. Рассматриваются начальные стадии окисления в рамках *LP*-модели Диля и Гроува до толщины SiO₂ ~ 0.25 мкм.

Процесс дефектообразования в кремни на границе раздела Si-SiO₂ рассматривается как следствие генерации межузельных атомов кремния под действием механических напряжений.

Рассчитаны зависимости поверхностной плотности микродефектов и упругих напряжений в кремни от толщины окисла. Кривая плотности микродефектов хорошо согласуется с экспериментальными результатами, полученными на пластинах кремния с ориентацией (111) при окислении их в атмосфере влажного кислорода при температуре 1000 °C до толщины ~ 0.15 мкм.

Анализ полученных результатов указывает на существование переходного слоя SiO_x в системе Si-SiO₂.

Рассчитан стехиометрический коэффициент кислорода в переходном слое SiO_x на границе раздела Si-SiO₂, который составляет величину ~ 0.5.

Введение

Процессы дефектообразования в кремни при его термическом окислении являются предметом многих теоретических и экспериментальных исследований, так как возрастающие требования к качеству диоксида кремния и структуре кремния, прилегающей к границе раздела Si-SiO₂, заставляют вести поиски наиболее оптимальных путей окисления монокристаллических пластин кремния.

Традиционно рассматриваются сухое и влажное окисление кремния при заданной температуре. Теоретическим исследованиям и моделированию легче поддается сухое окисление, так как более простые химические превращения из-за отсутствия воды позволяют быстрее получить искомые результаты. Это отражено в ряде работ, например в моделях Диля и Пламмера [1], где показаны простейшие механизмы генерации дефектов в кремни в процессе сухого термического окисления.

Быстрое, но более сложное в теоретическом аспекте, термическое окисление кремния во влажном кислороде характеризуется значительной деградацией кристаллической структуры кремния на границе раздела Si-SiO₂, особенно на начальных стадиях окисления до толщины SiO₂ ~ 0.2 мкм [2].

К настоящему времени предложено несколько механизмов генерации микродефектов в кремнии при термическом окислении. Нами отдано предпочтение механизму упругих напряжений, возникающих в системе Si-SiO₂ при термическом окислении за счет увеличения объема окисленного кремния по сравнению с его первоначальной величиной. Следует заметить, что формируемая в процессе термического окисления кремния пленка SiO₂ также подвергается процессу дефектообразования и, в частности, является неоднородной по составу и слоистой по структуре [3], что в свою очередь влияет на эволюцию дефектов в кремни на границе раздела Si-SiO₂.

Цель настоящей работы — установление функциональной зависимости между толщиной окисла на подложке кремния, величиной упругих напряжений в кремни на границе раздела Si-SiO₂ и плотностью микродефектов на поверхности кремния при проведении процесса термического окисления в атмосфере кислорода с парами воды.

1. Упругие напряжения в системе Si-SiO₂ при термическом окислении

Основной причиной возникновения механических напряжений в системе Si-SiO₂ является увеличение объема окисленной части кремния более чем в 2 раза [4]. Величина упругих напряжений на границе раздела Si-SiO₂ достигает величин (2–5) · 10⁹ Па. Однако эти значения, приводимые Н. Румаком в монографиях [5, 6], отличаются от величин, приводимых другими авторами, например Этрниссом [7], который экспериментально получил упругие напряжения, составляющие 7 · 10⁸ Па, что, по-видимому, связано с зависимостью упругих напряжений от конкретных условий получения диоксидных слоев и метода измерения механических напряжений.

Естественно предположить, что в отсутствие окисла на поверхности кремния нет и механических напряжений. Тогда с ростом толщины окисла в процессе термического окисления должно следовать увеличение механических напряжений в системе Si-SiO₂ и, в частности, в кремнии.

Возникающие на границе раздела Si-SiO₂ механические напряжения имеют максимальную величину, что обусловлено в отличие от других удаленных слоев SiO₂ отсутствием в момент зарождения деформаций естественной временной релаксации упругих напряжений, обусловленной текучестью окисла.

Рассмотрим закономерности возрастания механических напряжений на границе раздела Si-SiO₂ в кремнии. Производная упругих напряжений по времени определяется скоростью окисления кремния и релаксацией деформаций за счет текучести окисла, т. е.

$$\frac{d\sigma}{dt} = k v e^{-\frac{t}{\tau}}. \quad (1)$$

где k — коэффициент пропорциональности, τ — время релаксации упругих напряжений.

При сдвиговом механизме релаксации механических напряжений в диоксиде кремния время релаксации определяется отношением

$$\tau = \eta/G, \quad (2)$$

где η — вязкость SiO_2 , G — модуль сдвига,

Согласно LP -модели Дила и Гроува [8], время окисления кремния определяется суммой

$$t = \frac{Ax}{B} + \frac{x^2}{B}, \quad (3)$$

где коэффициенты линейной B/A и параболической B скоростей окисления при 1000°C составляют величины [9] $2.97 \cdot 10^{-10} \text{ м/с}$ и $8.33 \cdot 10^{-17} \text{ м}^2/\text{с}$ соответственно, x — толщина окисла.

Исключая время из (1) с помощью соотношения (3), получим

$$\frac{d\sigma}{dx} = k \exp \left[- \left(\frac{Ax}{B} + \frac{x^2}{B} \right) / \tau \right]. \quad (4)$$

Это дифференциальное уравнение решается численными методами при известных граничных условиях и заданной величине времени релаксации τ . Положим, что начальные механические напряжения в кремнии отсутствуют, а их предельная величина, известная из эксперимента [6], составляет при полном окислении до толщины окисла 0.25 мкм величину $\sim 5 \cdot 10^9 \text{ Па}$. Численное значение времени релаксации упругих напряжений в окисле τ можно взять из таблицы в работе [10], где для температуры 1273K оно составляет 715 с .

Численный расчет зависимости величины упругих напряжений в кремни на границе раздела $\text{Si}-\text{SiO}_2$ как функции толщины окисла, удовлетворяющий описанным граничным условиям с коэффициентом пропорциональности k , равным $5.04 \cdot 10^{16} \text{ Па/м}$, приведен на рис. 1.

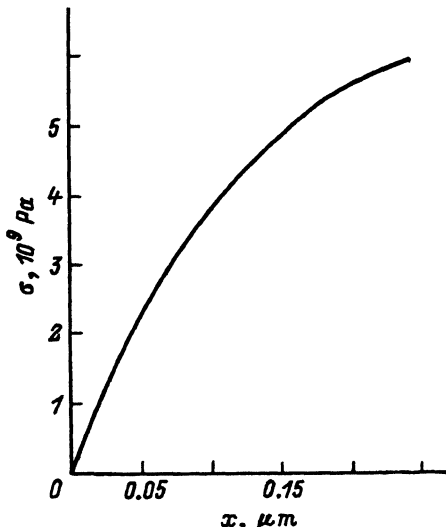


Рис. 1. Зависимость величины упругих напряжений в кремни от толщины окисла. $T = 1000^\circ\text{C}$.

Следует заметить, что время релаксации τ не является постоянной величиной по толщине окисла, так как термически выращенный слой SiO_2 не является однородным, особенно вблизи границы раздела $\text{Si}-\text{SiO}_2$. Поэтому используемое нами время релаксации τ может быть заниженным для переходного слоя SiO_z , который может характеризоваться величинами $z < 2$.

2. Расчет поверхностной плотности микродефектов в кремнии с ростом толщины окисла

Простейшими дефектами, возникающими при термическом окислении в кремнии, являются межузельные атомы кремния и вакансы. Причем на начальных стадиях окисления генерируются межузельные атомы, а при длительности окисления начинает преобладать генерация вакансий [11, 12]. Таким образом, для описания процесса дефектообразования на начальной стадии окисления следует учитывать генерацию межузельных атомов кремния. Действительно, начало окисления кристалла сопровождается возникновением механических напряжений в образовавшейся двухслойной структуре, под влиянием которых генерируются межузельные атомы кремния [13].

Экспериментально наблюдается близкая к линейной, в полулогарифмическом масштабе, зависимость поверхностной плотности микродефектов на кремни от толщины окисла [2]. Такую закономерность генерации микродефектов можно объяснить в рамках воздействия упругих напряжений. Известно [5], что концентрация межузельного кремния описывается выражением

$$C_i = C_i^* \exp \frac{\Delta E_i}{kT}, \quad (2.1)$$

где C_i^* — концентрация межузельного кремния в отсутствие поля упругих напряжений, ΔE_i — энергия межузельного атома кремния в поле упругих напряжений.

Равновесную концентрацию межузельных атомов кремния можно рассчитать по формуле [14]

$$C_i^* = N_i \exp -\frac{\Delta H_i}{kT}, \quad (2.2)$$

где N_i — общая концентрация междуузлий, ΔH_i — изменение энталпии при переходе атома из узла в междуузлие.

Учтем теперь, что энергия межузельного атома кремния в поле упругих напряжений может быть вычислена с помощью произведения величины упругих напряжений в области локализации межузельного атома и изменения объема, занимаемого атомом [15]

$$\Delta E_i = \sigma \Delta V_i. \quad (2.3)$$

Подставляя (2.2) в (2.3) в (2.1), получим

$$C_i(x) = N_i \exp \frac{\sigma(x) \Delta V_i - \Delta H_i}{kT}, \quad (2.4)$$

где величина упругих напряжений, как функция от толщины окисла, может быть найдена численным решением дифференциального уравнения (1.4).

Увеличение концентрации межузельных атомов кремния с ростом толщины окисла будет сопровождаться усилением их взаимодействия с ловушками, которыми могут быть другие дефекты, такие как дислокации, преципитаты, кластеры [16]. Такое взаимодействие способствует образованию микродефектов упаковки, размеры которых будут возрастать в течение термического окисления кремния. Следует отметить, что межузельные атомы кремния могут также взаимодействовать между собой, образуя межузельные пары, а затем генерировать кластеры межузельных атомов [17].

Естественно, что поверхностная концентрация микродефектов в кремнии на границе раздела Si-SiO₂ будет пропорциональна концентрации межузельного кремния C_i и толщине дефектной области кремния w , взаимодействие межузельных атомов в которой приводит к генерации и росту дефектов упаковки с поверхностной плотностью

$$C_s = wC_i. \quad (2.5)$$

Подставляя (2.4) в (2.5), найдем формальное выражение зависимости поверхностной плотности микродефектов в кремнии от толщины слоя

$$C_s(x) = wN_i \exp \frac{\sigma(x)\Delta V_i - \Delta H_i}{kT}. \quad (2.6)$$

Для расчета конкретной зависимости $C_s(x)$ используем следующие численные значения: $\Delta H_i = 4.25 \text{ эВ}$ [14]; $w = 1.4 \cdot 10^{-7} \text{ м}$.

Изменение объема, занимаемого атомом кремния, за счет энергии химической реакции под действием упругих сил механических напряжений рассчитывается по формуле

$$\Delta V_i = \alpha a^3, \quad (2.7)$$

где $\alpha = 0.256$ — коэффициент пропорциональности, связанный со стехиометрическим коэффициентом атомов кислорода, образующих химические связи с атомами кремния.

Концентрация междуузлий пропорциональна плотности кремния и обратно пропорциональна атомарному весу, т. е.

$$N_i = \frac{\rho N_A}{A}, \quad (2.8)$$

где N_A — число Авогадро, моль.

Используя численные значения и выражения (2.7), (2.8), нетрудно рассчитать поверхностную плотность микродефектов, решая совместно дифференциальное уравнение (1.4) и уравнение (2.6). На рис. 2 приведены результаты расчета. Видно, что до толщины SiO₂ ~ 0.12 мкм теоретическая кривая хорошо отображает характер эксперимента, а при дальнейшем окислении экспериментальные точки смещаются в сублинейную область для данной зависимости. Это свидетельствует о нелинейных процессах взаимодействия микродефектов при достаточной их плотности, составляющей величину ~ $2 \cdot 10^5 \text{ см}^{-2}$, что приводит к

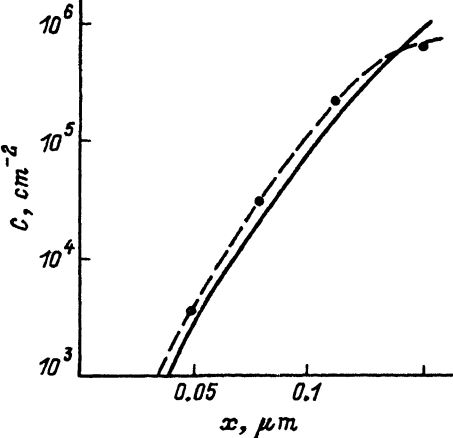


Рис. 2. Зависимость поверхности плотности микродефектов в кремнии от толщины окисла. Точки — экспериментальные значения, сплошная линия — расчетные значения.

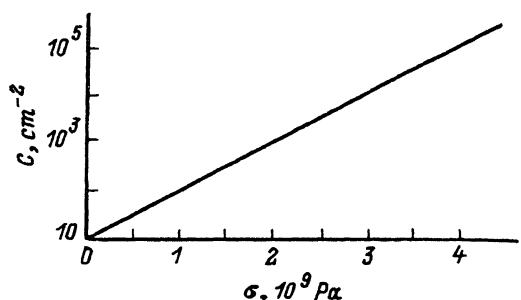


Рис. 3. Зависимость поверхности плотности дефектов от упругих напряжений.

росту размеров сформировавшихся микродефектов и замедлению скорости генерации новых.

Из (2.6) видно, что плотность микродефектов экспоненциально растет с увеличением механических напряжений при постоянной величине изменения объема, занимаемого атомом кремния при термическом окислении. На рис. 3 показана теоретически рассчитанная зависимость поверхностной плотности микродефектов от величины механических напряжений в кремнии в реальном диапазоне изменения упругих напряжений.

Заключение

Проведенные исследования показали, что термическое окисление кремния во влажном кислороде генерируется в приповерхностной области кремния, прилегающей к границе раздела $Si-SiO_2$, микродефекты, поверхностная плотность которых на начальных стадиях окисления до толщины $SiO_2 \sim 0.12 \text{ мкм}$ экспоненциально возрастает.

Для объяснения экспериментальных результатов разработана модель генерации микродефектов в кремнии за счет возникающих при термическом окислении в системе $Si-SiO_2$ механических напряжений. Предполагается, что на процесс возбуждения упругих напряжений основное влияние оказывают два конкурирующих процесса — темп окисления, функционально связанный с толщиной SiO_2 , и текучесть SiO_2 , обусловленная конечной величиной коэффициента вязкости.

Линеаризация экспериментальных результатов в рамках рассмотренной модели позволяет определить величину изменения объема, занимаемого атомом кремния под действием упругих сил в системе $Si-SiO_2$ за счет энергии химической реакции. Она составляет величину $\sim 0.256 a^3$, что примерно в 4 раза меньше изменения объема Si , происходящего при полном его окислении. Это позволяет определить состав

структуре SiO_z , в которой зарождаются микродефекты. Действительно, полагая изменение объема пропорциональным стехиометрическому коэффициенту кислорода, получим

$$z = \frac{2\Delta V_{\text{Si}-\text{SiO}_z}}{\Delta V_{\text{Si}-\text{SiO}_2}} \approx 0.5.$$

Таким образом, состав структуры, в которой генерируются микродефекты, представляет собой слой $\text{SiO}_{0.5}$, в котором половина атомов кремния образует комплексы $\text{Si}-\text{O}$.

Следует заметить, что толщина слоя SiO_z с величиной $z = 1$, экспериментально определенная К.Гровенором и приведенная в работе [18], составляет 0.4 нм. Это позволяет определить толщину переходного слоя в системе $\text{Si}-\text{SiO}_2$, составляющую 1.2 нм, а также оценить толщину структуры, в которой генерируются микродефекты, составляющую ~ 0.2 нм.

Список литературы

- [1] Дж. Пламмер, Б. Дил. *МОП-СБИС: Моделирование элементов и технологических процессов* (М., Мир, 1988) с. 44.
- [2] В.П. Шаповалов, В.И. Грядун, В.П. Токарев. ФТП, **27**, 1851 (1993).
- [3] В.Г. Литовченко, Р.И. Марченко, Г.Ф. Романова. *Электронные процессы на поверхности полупроводников и границах раздела полупроводник-диэлектрик* (Новосибирск: Ин-т физики полупроводников, 1974) с. 50.
- [4] N.P. Mott. Phil. Mag. B, **55**, 117 (1987).
- [5] Н.В. Румак, В.В. Хатько. *Диэлектрические пленки в твердотельной микроэлектронике* (Минск, Навука і тэхніка, 1990).
- [6] N.V. Rumak, V.V. Khatko, V.N. Plotnikov. Phys. St. Sol. A, **86**, 98 (1984).
- [7] E.P. Etrnisse. Phil. Mag. B, **55**, 159 (1987).
- [8] B.E. Deal, A.S. Grove. J. Appl. Phys., **36**, 3770 (1965).
- [9] A.S. Grove. *Physics and Technology of Semiconductor Devices* (Wiley, Pergamon Press, 1967).
- [10] К.Г. Глухенький, Н.А. Зайцев, Н.В. Суровиков. Электрон. техн., сер. 6, Материалы, вып. 1 (255), 3 (1991).
- [11] K. Nauka, J. Lagowski, H.C. Gatos, O. Ueda. J. Appl. Phys., **60**, 615 (1986).
- [12] N.T. Bagraev, L.E. Klyachkin, A.M. Malyarenko, V.L. Sukhanov. Sol. St. Electron., **34**, 1149 (1991).
- [13] T.Y. Tan, U. Goesele. Appl. Phys. Lett., **30**, 86 (1981).
- [14] С.С. Горелик, М.Я. Дащевский. *Материаловедение полупроводников и диэлектриков* (М., Металлургия, 1988).
- [15] Я.Е. Гегузин, М.А. Кривоглаз. *Движение макроскопических включений в твердых телах* (М., Металлургия, 1971).
- [16] Е.П. Прокофьев. Электрон. техн., сер. 6, Материалы, вып. 4 (249), 58 (1990).
- [17] A. De Kock. Phil. Res. Rep., **16**, 1 (1973).
- [18] C.R. Grovenor. *Semicond. Insul. and Thin Film Transistor Technol. Symp.* (Boston, USA, December 3-6, 1985) p. 301.

Редактор В.В.Чалдышев

Defect formation in surface region of silicon under its thermal oxidation

V.P.Shapovalov, V.I.Gryadun, A.E.Korolev

Zaporozhe State Technical University, Zaporozhe, the Ukraine